

### 3 Регулярные преобразования сигнальных пучков

#### 3.1 Дефокусирующие преобразования

Ранее (1.23) был сформулирован обобщенный принцип Гюйгенса-Френеля, связывающий профиль распределения комплексных амплитуд на двух перпендикулярных оси пучка и отстоящих друг от друга плоскостях. Для частных случаев профилей Эрмит-Гаусса и Лагерр-Гаусса справедливы соотношения:

$$\begin{aligned} & G_H(x, y, z) H_{n,m} \left( \frac{x}{\rho|\sigma|}, \frac{y}{\rho|\sigma|} \right) = \\ & = \left( \frac{k}{i2\pi z} \right) \iint_{\mathbb{R}^2} H_{n,m} \left( \frac{x_1}{\rho}, \frac{y_1}{\rho} \right) e^{\frac{ik}{2z}[(x-x_1)^2+(y-y_1)^2]} dx_1 dy_1, \end{aligned} \quad (3.1)$$

$$\begin{aligned} & G_L(x, y, z) L_{n,\pm m} \left( \frac{x}{\rho|\sigma|}, \frac{y}{\rho|\sigma|} \right) = \\ & = \left( \frac{k}{i2\pi z} \right) \iint_{\mathbb{R}^2} L_{n,\pm m} \left( \frac{x_1}{\rho}, \frac{y_1}{\rho} \right) e^{\frac{ik}{2z}[(x-x_1)^2+(y-y_1)^2]} dx_1 dy_1, \end{aligned} \quad (3.2)$$

где  $\rho$  - константа,  $\sigma = 1 + (2iz)/(k\rho^2)$ , гауссовские множители профилей пучков -

$$G_H(x, y, z) = \frac{1}{|\sigma|} \exp \left( \frac{2iz(x^2 + y^2)}{k\rho^4|\sigma|^2 - i(n+m+1)\arg(\sigma)} \right),$$

$$G_L(x, y, z) = \frac{1}{|\sigma|} \exp\left(\frac{2iz(x^2 + y^2)}{k\rho^4|\sigma|^2 - i(2n + m + 1)\arg(\sigma)}\right).$$

Классы функций  $H_{n,m}(x, y)$ ,  $n, m = 0, 1, \dots$  и  $L_{n,m}(x, y)$ ,  $n, \pm m = 0, 1, \dots$  формируют на плоскости полный ортонормированный базис, следовательно любой профиль комплексной амплитуды можно разложить в одном из рассматриваемых базисов (в зависимости от типа симметрии физической системы). Если при  $z = 0$  справедливо:

$$F(x, y, 0) = \sum_{n,m=0}^{\infty} c_{n,m} H_{n,m}(x, y),$$

справедливым на всей трассе пучка должно быть соотношение:

$$F(x, y, z) = \frac{1}{|\sigma|} \exp\left(\frac{2iz(x^2 + y^2)}{k\rho^4|\sigma|^2}\right) \sum_{n,m=0}^{\infty} c_{n,m} e^{-i(n+m)\arg(\sigma)} H_{n,m}\left(\frac{x}{\rho|\sigma|}, \frac{y}{\rho|\sigma|}\right).$$

В частном случае  $F(x, y, 0) = L_{n,m}(x, y)$  должно существовать линейное взаимное представление компонент одного базиса через компоненты другого. Для определения типа такого преобразования и его экспериментальной реализации рассмотрим подынтегральное выражение (3.1) как Фурье-отображение исходного Эрмит-Гауссового профиля с дополнительными фазовыми весовыми функциями:

$$e^{\frac{ik}{2z}[(x-x_1)^2 + (y-y_1)^2]} = e^{\frac{ik}{2z}[x^2 + y^2]} e^{-\frac{ik}{2z}[xx_1 + yy_1]} e^{\frac{ik}{2z}[x_1^2 + y_1^2]}$$

здесь вторая экспонента в правой части определяет разложение в базисе плоских волн (Фурье-отображение комплексной амплитуды), третья экспонента эквивалентна дополнительному фазовому набегу при дефокусирующем воздействии на пучок.

Дефокусирующее воздействие фактически определяет пространственное масштабирование профиля пучка при распространении и может быть определено парой действительных значений  $a, c$ , характеризующих дефокусирующие искажения фазовой поверхности вдоль различных направлений. Для большей компактности записи

перейдем к собственному масштабу длин и определим силу дефокусирующего искажения вдоль осей  $x_1, y_1$  как пару действительных чисел  $a, c$ :

$$\begin{aligned} & \iint_{\mathbb{R}^2} e^{-i[xx_1+yy_1]} e^{i[ax_1^2+cy_1^2]} H_{n,m}(x_1, y_1) dx_1 dy_1 = \quad (3.3) \\ & = \frac{\pi(-i)^{n+m}}{\sqrt{(1+a^2)(1+c^2)}} e^{\left(-\frac{iax^2}{4(1+a^2)} - \frac{icy^2}{4(1+c^2)} + i(n+\frac{1}{2}) \arctg a + i(m+\frac{1}{2}) \arctg c\right)} \\ & \quad H_{n,m}\left(\frac{x}{2\sqrt{1+a^2}}, \frac{y}{2\sqrt{1+c^2}}\right) \end{aligned}$$

Как следует из (3.3), при дефокусирующем воздействии происходит изменение масштабов модуляции комплексной амплитуды пучка с сохранением модовых значений  $n, m$ . Если экспериментальные выборки основаны только на регистрации интенсивности, число узловых сечений профиля пучка, испытавшего дефокусирующие воздействия различных типов, независимо от расположения плоскости регистрации может быть использовано для распознавания исходной Эрмит-Гауссовой моды.

### 3.2 Астигматические преобразования

Определим новый тип квадратичных по координате фазовых искажений пучка, не сводимый к набору дефокусирующих воздействий - астигматические искажения. Фазовый профиль зададим функцией двух координат и параметра ориентации  $\alpha$ :

$$\psi(x_1, y_1; \alpha) = (x_1^2 - y_1^2) \cos 2\alpha - 2x_1 y_1 \sin 2\alpha.$$

Общее астигматическое преобразование Эрмит-Гауссового профиля запишем в виде:

$$F_{n,m}(x, y; a; \alpha) = \iint_{\mathbb{R}^2} e^{-i(xx_1+yy_1)} e^{ia\psi(x_1, y_1; \alpha)} H_{n,m}(x_1, y_1) dx_1 dy_1.$$

Как следует из предыдущего раздела, при "углах поворота"  $\alpha = 0$  и  $\alpha = \pi$ ,  $F_{n,m}(x, y; a; \alpha)$  могут быть выражены через  $H_{n,m}(x, y)$  с изменением масштаба развертки по направлениям  $x, y$ .

Иная ситуация при  $\alpha \in (0, \pi)$ . В случае  $\alpha = \pi/4$  фазомодулирующая функция "теряет" первое слагаемое, а Эрмит-Гауссов профиль преобразуется в Лагерр-Гауссов:

$$\begin{aligned} & \iint_{\mathbb{R}^2} e^{-i(xx_1+yy_1)} e^{(2iax_1y_1)} H_{n,m}(x_1, y_1) dx_1 dy_1 \Rightarrow \quad (3.4) \\ & = \frac{\pi}{\sqrt{2}} (-1)^{n+m} \exp\left(-\frac{ixy}{4}\right) L_{m,n-m}\left(\frac{x}{2\sqrt{2}}, \frac{y}{2\sqrt{2}}\right), \quad n \geq m, \\ & = \frac{\pi}{\sqrt{2}} (-1)^{n+m} \exp\left(-\frac{ixy}{4}\right) L_{n,m-n}\left(\frac{y}{2\sqrt{2}}, \frac{x}{2\sqrt{2}}\right), \quad n \geq m. \end{aligned}$$

Профили Лагерр-Гауссовых пучков радиально симметричны для любых собственных значений  $(n, m)$ . Соответственно (3.4) можно трактовать как преобразование любого исходного профиля пучка в осесимметричный с сохранением комбинации собственных значений.

Экспериментально реализовать конвертацию пространственных мод можно с использованием сферических и цилиндрических оптических элементов. Сферическая линза с фокусным расстоянием  $f_0$  описывается фазовым профилем -

$$\psi_S(x_1, y_1; f_0) = -\frac{1}{f_S}(x_1^2 + y_1^2),$$

соответственно в фокальной плоскости линзы ( $z = f_0$ ) формируется Фурье-отображение исходного профиля пучка:

$$F(x, y, z) = \frac{k}{2\pi iz} \iint_{\mathbb{R}^2} e^{\frac{ik}{2z}[(x-x_1)^2+(y-y_1)^2]} e^{-\frac{ik}{2f_S}(x_1^2+y_1^2)} F(x_1, y_1, 0) dx_1 dy_1. \quad (3.5)$$

Цилиндрическая линза изменяет фазу проходящего пучка только по одному направлению, например так -

$$\psi_C(x_1, y_1; f_C) = \frac{x_1^2}{f_C}. \quad (3.6)$$

Комбинируя сочетание сферической и цилиндрической линз с совпадающими фокусными расстояниями и ориентацией направляющей цилиндрической линзы под углом  $\alpha$  получим фазомодулирующий профиль вида

$$\psi_{S+C}(x_1, y_1; f) = \frac{-(x_1^2 + y_1^2) + 2(x_1 \cos \alpha + y_1 \sin \alpha)^2}{f},$$

или

$$\psi_{S+C}(x_1, y_1; f) = \frac{(x_1^2 - y_1^2) \cos 2\alpha + 2x_1 y_1 \sin 2\alpha}{f},$$

позволяющий реализовать астигматические преобразования, описанные выше.

### 3.3 Профили Эрмит-Лагерр-Гаусса

Фазовый внерезонаторный астигматический модовый конвертер возникает при распространении сигнального пучка на протяженных трассах за счет модуляции оптической плотности аэродинамических потоков. Описание динамики процесса конвертации мод и регистрируемых пространственных распределений удобно анализировать при едином представлении базисных состояний. Для этого построим объединенную функцию Эрмит-Лагерр-Гаусса следующим образом:

$$\Upsilon_{n,m}(x, y; \alpha) = \sum_{k=0}^{n+m} i^k \cos^{n-k} \alpha \sin^{m-k} \alpha P_k^{(n-k, m-k)}(-\cos 2\alpha) H_{n+m-k, k}(x, y) \quad (3.7)$$

где  $P_k^{(n-k, m-k)}$  - полиномы Якоби.

Используя представление (3.7) и определение астигматического преобразования (3.4) получим:

$$\begin{aligned}
\iint_{\mathbb{R}^2} e^{-i(xx_1+yy_1)} e^{i\psi(x_1,y_1;\alpha)} H_{n,m}(x_1,y_1) dx_1 dy_1 &= \quad (3.8) \\
&= \frac{\pi}{\sqrt{2}} \exp\left(-\frac{i}{8}\psi(x,y;\alpha) - \frac{\pi}{i}4(n+m)\right) * \\
&* \Upsilon_{m,n}\left(\frac{x \cos \alpha + y \sin \alpha}{2\sqrt{2}}, \frac{y \cos \alpha - x \sin \alpha}{2\sqrt{2}}; \alpha\right).
\end{aligned}$$

В частных случаях -

$$\Upsilon_{m,n}(x,y;0) = (-1)^m H_{n,m}(x,y),$$

$$\Upsilon_{m,n}(x,y;\pi/4) = (-1)^m 2^n m! L_{m,n-m}(x,y), \quad n \geq m,$$

$$\Upsilon_{m,n}(x,y;\pi/4) = (-1)^n 2^m n! L_{n,m-n}(x,-y), \quad n \leq m.$$

Пример трансформации Эрмит-Гауссового профиля  $H_{6,0}(x,y)$  в Лагерр-Гауссов  $L_{0,6}(x,y)$  при астигматическом преобразовании с различными углами проецирования  $\alpha$  представлен на Рис.3.1.

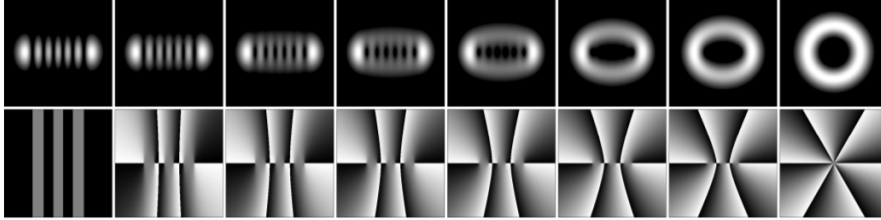


Рис. 3.1: Профили интенсивности (верхний ряд) и вариации фазы (нижний ряд) для функции Эрмит-Лагерр-Гаусса при  $n = 6, m = 0$

Представленная на рисунке трансформация мод проведена для углов поворота в интервале  $\alpha \in [0, \pi/4]$ . Исходная модуляция амплитуды вдоль горизонтальной оси, свойственная Эрмит-Гауссовому профилю  $H_{6,0}(x,y)$  перешла в фазовую модуляцию при обходе оси

симметрии пучка для Лагерр-Гауссового профиля  $L_{0,6}(x, y)$ . Исходное число нулей для горизонтальной модуляции интенсивности совпадает с числом перехода фазы из значения  $2\pi$  в значение 0 функции  $L_{0,6}(x, y)$ .

Еще один пример трансформации представлен на Рис.3.2.

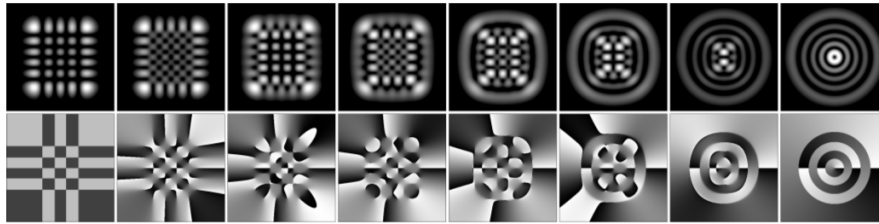


Рис. 3.2: Профили интенсивности (верхний ряд) и вариации фазы (нижний ряд) для функции Эрмит-Лагерр-Гаусса при  $n = 4, m = 5$

Близкие по величине собственные значения формируют сложный профиль амплитудной модуляции как для  $H_{4,5}(x, y)$ , так и для  $L_{4,1}(x, y)$ . Однако фазовая модуляция при осесимметричном проецировании относительно проста, полностью исключить фазовую модуляцию в Лагерр-Гауссовом представлении можно подбором равных собственных значений  $n = m$ .

Экспериментальная распределений интенсивности при модовой конвертации, построенной по описанному в предыдущем разделе принципу сочетания сферических и цилиндрических оптических элементов иллюстрируется на Рис.3.3.

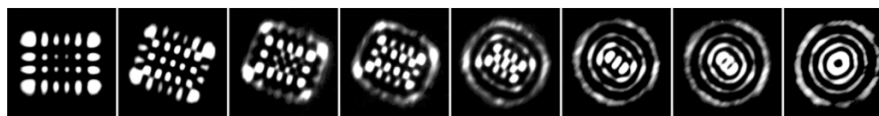


Рис. 3.3: Профили интенсивности для функции Эрмит-Лагерр-Гаусса при  $n = 5, m = 3$

Функции Эрмита-Лагерр-Гаусса  $\Upsilon_{m,n}(x, y; \alpha)$  при любом значении угла проецирования  $\alpha$  формируют ортонормированный базис в

$\mathbb{R}^2$  и инвариантны по отношению к астигматическим преобразованиям произвольного вида.

### 3.4 Угловой момент и вектор Умова-Пойтинга пучка

Распространение пучка произвольного профиля сопровождается переносом энергии, импульса и момента импульса. Пусть монохроматический пучок частотой  $\omega$  с комплексной амплитудой  $\vec{F}(x, y, z)$  распространяется в однородной и изотропной среде с диэлектрической проницаемостью  $\epsilon$  и магнитной проницаемостью  $\mu$ . Рассмотрим исходно эллиптически поляризованный пучок, характеризуемый электрической составляющей электромагнитного поля –

$$\vec{E} = (E_x, E_y, E_z)e^{i(kz - \omega t)}, k = k_0\sqrt{\epsilon\mu},$$

с компонентами комплексной амплитуды –

$$E_x = F(x, y, z) \cos \alpha, \quad E_y = iF(x, y, z) \sin \alpha, \quad E_z.$$

Соотношение между поперечными и продольной компонентами поля пучка получим из уравнения Максвелла  $\text{div} \vec{E} = 0$ :

$$\begin{aligned} \frac{\partial F(x, y, z)}{\partial x} \cos \alpha + i \frac{\partial F(x, y, z)}{\partial y} \sin \alpha + ikE_z + \frac{\partial E_z}{\partial z} &= 0 \Rightarrow \\ E_z &= -e^{ikz} \int e^{ikz} \left( \frac{\partial F(x, y, z)}{\partial x} \cos \alpha + i \frac{\partial F(x, y, z)}{\partial y} \sin \alpha \right) dz = \\ &= \frac{i}{k} \left( \frac{\partial F(x, y, z)}{\partial x} \cos \alpha + i \frac{\partial F(x, y, z)}{\partial y} \sin \alpha \right) + O\left(\frac{1}{k^2}\right). \end{aligned}$$

Подставив найденные компоненты в уравнение Максвелла  $\vec{B} = \text{rot} \vec{E} / ik_0$  определим поперечные и продольные компоненты вектора магнитной индукции:

$$\begin{aligned} B_x &= -i \frac{k}{k_0} F \sin \alpha, \quad B_y = \frac{k}{k_0} F \cos \alpha, \\ B_z &= \frac{1}{k_0} \left[ \left( \frac{\partial F}{\partial x} \sin \alpha + i \frac{\partial F}{\partial y} \cos \alpha \right) + O\left(\frac{1}{k^2}\right) \right]. \end{aligned}$$



Пусть у среды распространения пучка отсутствует намагниченность и, соответственно совпадают направления векторов напряженности магнитного поля и вектора индукции магнитного поля. Оценим направление вектора Умова-Пойнтинга, принимая во внимание комплексный характер записи фазового рассогласования компонент:

$$\vec{P} \sim [\vec{E} \times \vec{H}],$$

или по компонентам:

$$P_x \sim \frac{1}{2k_0} F \frac{\partial F}{\partial x} \cos 2\alpha, \quad P_y \sim \frac{i}{2k_0} F \frac{\partial F}{\partial y} \sin 2\alpha, \quad P_z \sim |F|^2$$

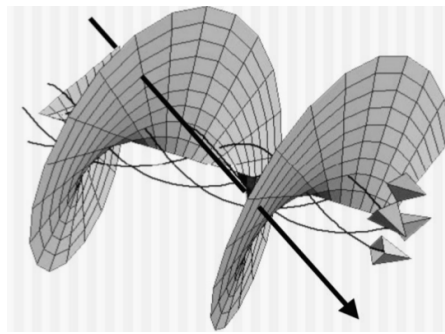


Рис. 3.4: "Замороженный" фрагмент сигнального пучка []

На Рис.3.4 представлена схема "спиралевидного вращения" вектора Умова-Пойнтинга на расстоянии одной длины волны в предположении простейшего профиля поверхности постоянной фазы. В каждой точке поверхности локальной направление волны немного отличается от соседнего и перенос энергии проходит по скользящей спирали, навитой на "виртуальный цилиндр".

Подобное "спиралевидное обтекание" порождает вращение, характеризуемое моментом импульса относительно оси пучка. Подобное вращение следует рассматривать как результат интерференции вторичных волн, а не только как вращение волны в целом в результате поляризации. Переносимый волной момент импульса может

быть передан атомам или иным структурам, способным поглотить или переизлучить волну.

Момент импульса пучка со "спиралевидным переносом" энергии вычислим на основе общего определения:

$$\vec{M} = \frac{1}{8\pi c} \Re[\vec{r} \times [\varepsilon \vec{E} \times \vec{B}^*]].$$

Ограничим анализ проекцией вдоль оси пучка, т.е.

$$\begin{aligned} M_z &= \frac{\varepsilon}{8\pi c} \Re(x[\vec{E} \times \vec{B}^*]_y - y[\vec{E} \times \vec{B}^*]_x) = \\ &= \frac{\varepsilon}{8\pi c} \Re(x(E_x B_z^* - E_z B_x^*) - y(E_y B_z^* - E_z B_y^*)) = M_z^O + M_z^P, \end{aligned}$$

здесь  $M_z^O$  - орбитальный момент импульса,  $M_z^P$  - поляризационный момент импульса. Для орбитального и поляризационного моментов импульса должны быть справедливы выражения:

$$M_z^O = \frac{\varepsilon}{8\pi c k_0} \Im \left[ F^* \left( x \frac{\partial F}{\partial y} - y \frac{\partial F}{\partial x} \right) \right], \quad M_z^P = \frac{\varepsilon \sin 2\alpha}{16\pi c k_0} \left[ x \frac{\partial}{\partial x} + y \frac{\partial}{\partial y} \right] (FF^*).$$

Сформулируем ряд утверждений, касающихся момента импульса пучка:

- Полный угловой момент сохраняется для пучка любого профиля при астигматических преобразованиях.
- Если исходная комплексная амплитуда строго вещественна, полный момент импульса равен нулю.
- Если исходная комплексная амплитуда четна или нечетна по каждой из координат  $x, y$ , полный угловой момент равен нулю.
- Если комплексная амплитуда поля имеет вид  $e^{im\alpha} F_0(r)$ , орбитальный угловой момент составляет  $M = m$ .